

# Al<sub>2</sub>O<sub>3</sub>/Al 纳米复合材料的强化机制 \*

丛洪涛 杨志卿 贺连龙 卢柯

(中国科学院金属研究所沈阳材料科学国家(联合)实验室, 沈阳 110016)

**摘要** 将含氢等离子蒸发法制备的 Al<sub>2</sub>O<sub>3</sub>/Al 纳米复合粉体冷压成直径为 25 mm、厚度为 2 mm 的块材，并通过 620 °C、40 min 热烧结和变形量为 55% 的冷轧形变处理使样品的相对密度达到 99%。对高致密 Al<sub>2</sub>O<sub>3</sub>/Al 纳米复合材料的拉伸实验表明：其屈服强度  $\sigma_{0.2}$  和断裂强度  $\sigma_b$  分别为粗晶 Al 的 12—16 倍和 5—6 倍，延伸率  $\delta$  比同质冷轧粗晶 Al 约高 28%。表征了 Al<sub>2</sub>O<sub>3</sub>/Al 纳米复合材料的结构和热稳定性，研究了晶粒细化的强化效应、非晶 Al<sub>2</sub>O<sub>3</sub> 弥散增强和冷变形加工硬化等对材料强度的影响。探讨了 Al<sub>2</sub>O<sub>3</sub>/Al 纳米复合材料的强化机制。

**关键词** Al<sub>2</sub>O<sub>3</sub>/Al 纳米复合材料，拉伸性能，强化机制

中图法分类号 TB331

文献标识码 A

文章编号 0412-1961(2003)03-0320-05

## STRENGTHEN MECHANISM OF Al<sub>2</sub>O<sub>3</sub>/Al NANO-COMPOSITE

CONG Hongtao, YANG Zhiqing, HE Lianlong, LU Ke

Shenyang National Laboratory for Materials Science, Institute of Metal Research, The Chinese Academy of Sciences,  
Shenyang 110016

Correspondent: CONG Hongtao, associate professor, Tel: (024)23971863, E-mail: htcong@imr.ac.cn

Supported by National Natural Science Foundation of China (Nos.59971055 and 50071059)

Manuscript received 2002-12-23, in revised form 2003-01-07

**ABSTRACT** Al<sub>2</sub>O<sub>3</sub>/Al nano-powders prepared by plasma evaporation method were compacted at room temperature into disc-shape samples with a dimension of dia. 25 mm×2 mm. The samples were sintered at 620 °C for 40 min and then cold-rolled, a high relative density of 99% was achieved. The results of tensile test on the Al<sub>2</sub>O<sub>3</sub>/Al nano-composite show a high yield strength of  $\sigma_{0.2}$  and a high breaking strength of  $\sigma_b$ , which are 12—16 times and 5—6 times that of annealed coarse-grained Al, respectively. The microstructure and thermal stability of the composite were studied. The effects of nanocrystalline matrix, the content of amorphous Al<sub>2</sub>O<sub>3</sub>, and cold deformation on the mechanical properties of the composite were discussed.

**KEY WORDS** Al<sub>2</sub>O<sub>3</sub>/Al nano-composite, tensile property, strengthen mechanism

纳米相增强铝基复合材料是近年迅速发展起来的一种新型材料，它集纳米材料和复合材料的特性于一身，表现出优异的理化和力学性能<sup>[1,2]</sup>，目前只做到增强相是纳米级的，而基体仍为普通多晶体，这无疑限制了此类材料力学性能的进一步提高。

对于普通多晶体材料，晶粒细化是提高材料综合力学性能的有效途径。当晶粒尺寸细化至纳米量级时，其综合力学性能是否会大幅度提高？纳米金属 Cu 室温超塑延展性的发现更使这一问题成为研究热点<sup>[3]</sup>。关于纳米材

料强化和变形机理已有许多报道<sup>[4,5]</sup>。如果是晶内位错运动变形机制占主导地位，则晶粒细化的强化可通过 Hall-Petch 关系定量估算，变形过程中的位错塞积会产生加工硬化，但是由于纳米材料的晶粒细小，晶粒内位错增殖和运动困难，大量的原子处于晶界上，显然，忽略晶界行为（即单一的位错理论）是不合适的；如果是晶界滑移变形机制占主导地位，则纳米材料极有可能存在低温超塑性。目前，对纳米材料强度的晶粒尺寸效应相关的实验研究尚少见报道。

据文献[6—9]报道，纳米金属 Pd, Ag, Au 的拉伸强度较普通粗晶材料约提高 3—5 倍，但塑性很低（只有 1%—2%）。关于纳米 Al 的拉伸性能报道甚少，Bonetti 等人<sup>[10]</sup>给出的纳米 Al（实际是一种纳米 Al/Al<sub>2</sub>O<sub>3</sub> 复合材料）的拉伸强度基本相当于普通退火粗晶 Al 的强度水

\* 国家自然科学基金资助项目 59971055 和 50071059

收到初稿日期：2002-12-23，收到修改稿日期：2003-01-07

作者简介：丛洪涛，男，1959 生，副研究员

平, 延伸率也仅为 1%.

纳米 Al 粉体极易发生钝化, 从而在金属 Al 晶粒表面形成一层非晶  $\text{Al}_2\text{O}_3$  膜<sup>[11,12]</sup>. 这虽然对获得纯净的纳米 Al 粉不利, 但也是原位合成纳米 Al 及其  $\text{Al}_2\text{O}_3$  复合材料的一种很好的方法. 在由纳米 Al 粉体制得的块体纳米  $\text{Al}/\text{Al}_2\text{O}_3$  复合材料中, 由于包裹着金属 Al 晶粒的非晶  $\text{Al}_2\text{O}_3$  膜外壳的熔点和强度远高于 Al, 故使纳米 Al 具有很好的热稳定性<sup>[13,14]</sup>, 同时对纳米 Al 也可起到弥散增强作用.

本文作者<sup>[15]</sup>曾通过蒸发冷凝和冷压的方法制备出纳米 Al 块体材料样品, 并通过适当热处理和变形处理进一步提高其致密度, 获得了高致密纳米 Al 材料优异的拉伸性能, 但对材料性能与微观结构的关系尚缺乏深入研究.

本文研究了高致密  $\text{Al}_2\text{O}_3/\text{Al}$  纳米复合材料的拉伸性能以及结构与性能的关系, 研究了非晶  $\text{Al}_2\text{O}_3$  膜对该纳米复合材料热稳定性的影响, 研究了晶粒细化的强化效应、非晶  $\text{Al}_2\text{O}_3$  弥散增强和冷变形加工硬化等对材料强度的影响, 以揭示  $\text{Al}_2\text{O}_3/\text{Al}$  纳米复合材料的强化机制.

## 1 实验方法

### 1.1 样品制备

1.1.1 热烧结样品 用纯度为 99.85% 的普通纯 Al 作为原始蒸发料, 用活性氢等离子蒸发法制备出  $\text{Al}_2\text{O}_3/\text{Al}$  纳米复合粉体. 分别将纳米复合粉体和粒径为 70  $\mu\text{m}$  的市售 Al 粉体在 100 t 压机上以 1.42 GPa 压力冷压成直径为 25 mm, 厚度为 2 mm 的坯料(以下简称为冷压样品). 冷压纳米 Al 再经 540—635  $^{\circ}\text{C}$  真空热处理 40 min, 两面用粒度为 1  $\mu\text{m}$  的金钢石研磨膏抛光, 最后线切割成总长为 25 mm 的拉伸试样, 标距区长为 10 mm, 宽为 4 mm, 厚为 2 mm, 标距区与夹头间距为 4 mm. 制备纳米晶热烧结样品.

1.1.2 冷轧样品 将冷压样品经 620  $^{\circ}\text{C}$ , 40 min 热处理后, 室温冷轧成厚为 1 mm, 长轴直径为 40 mm 的薄板; 并对铸态粗晶 Al 也进行同样的冷变形处理. 对轧后样品进行不同温度的退火处理, 最后线切割成狗骨形拉伸试样, 其总长为 25 mm, 标距长为 10 mm, 宽为 4 mm, 厚为 1 mm. 分别制备出纳米晶 Al, 粉末粗晶 Al 和铸态粗晶 Al 3 种冷轧样品.

### 1.2 实验方法

用 X 射线衍射峰宽化分析结合 TEM 观察确定纳米 Al 晶粒和颗粒尺寸.

用气体分析法测定氧元素含量, 根据氧含量计算  $\text{Al}_2\text{O}_3$  含量.

用形状—质量法测定冷压坯和冷变形前后的样品密度, 理论密度根据 Al 和  $\text{Al}_2\text{O}_3$  两相混合定律计算得到.

在 AG 5000(Shimazu) 电子拉伸机上对纳米晶和粗晶 Al 试样做单向拉伸, 应变速率为  $10^{-4} \text{ s}^{-1}$ .

结构观察采用 JEM 2010 高分辨电镜, 加速电压为 200 kV. 样品用离子减薄的方法获得. 用 JSM-6301F 型 SEM 电镜观察试样的断口形貌.

## 2 实验结果与讨论

### 2.1 材料的组织结构与热稳定性

工业纯 Al 在 180  $^{\circ}\text{C}$  晶粒尺寸明显长大, Al 合金在 320  $^{\circ}\text{C}$  晶粒尺寸也开始长大. 据文献 [13] 报道, 由于有完整的非晶  $\text{Al}_2\text{O}_3$  将 Al 晶粒包裹起来从而限制了 Al 晶粒的长大, 因而  $\text{Al}_2\text{O}_3/\text{Al}$  纳米复合材料具有极好的热稳定性, 即使在 1000  $^{\circ}\text{C}$  以上块体材料的形状也未改变.

图 1a 是制备态  $\text{Al}/\text{Al}_2\text{O}_3$  复合颗粒的透射电镜像, 图 1b 是对颗粒尺寸统计的结果. 图 2 是相应的高分辨像, 从图 1a, 2 可见, 颗粒呈球状, 晶粒表面覆盖一层厚度约为 5 nm 的非晶  $\text{Al}_2\text{O}_3$  膜. 本工作所做的 XRD 分析表明, 制备态  $\text{Al}_2\text{O}_3/\text{Al}$  纳米复合颗粒 Al 晶体的平均晶粒尺寸为 60 nm, 与电镜观察结果 (78 nm) 基本一致. 由粉体压制的块材经 620  $^{\circ}\text{C}$ , 2.5 h 热处理后, 晶粒大

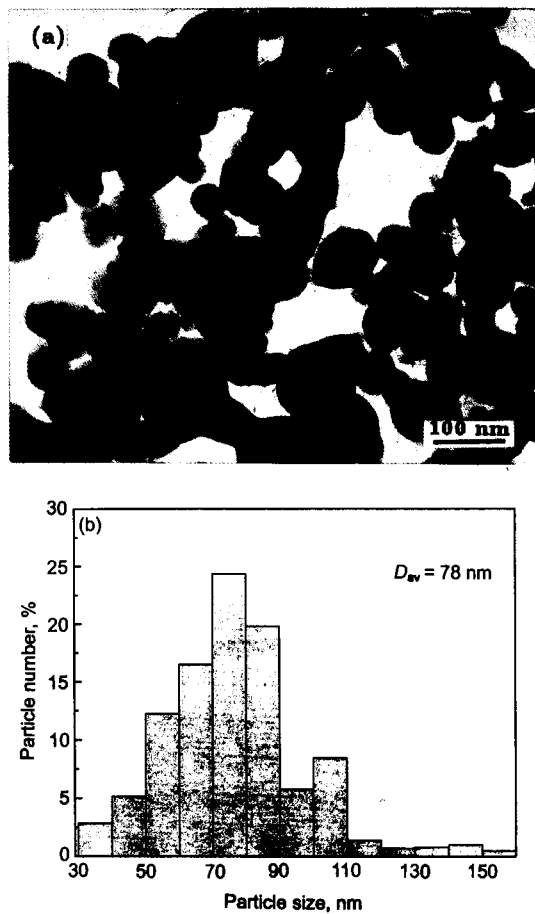
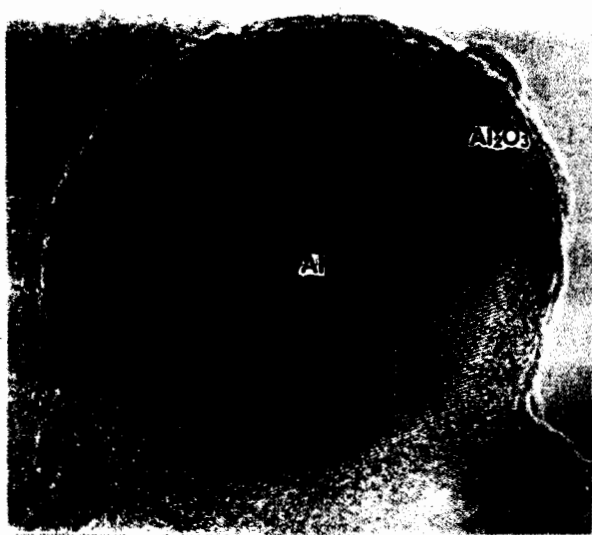


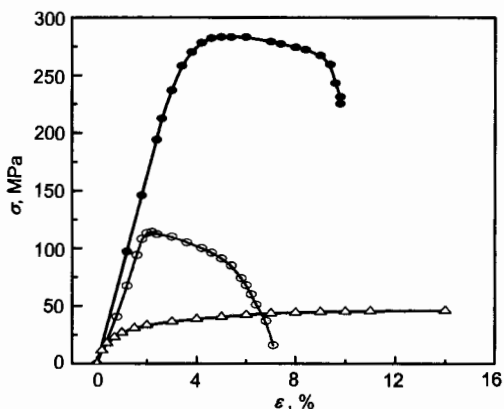
图 1 制备态  $\text{Al}_2\text{O}_3/\text{Al}$  复合颗粒形貌及粒度分布

Fig.1 TEM morphology (a) and particle size distribution (b) obtained from Fig.1a for as-prepared  $\text{Al}_2\text{O}_3/\text{Al}$  powders

图 2  $\text{Al}_2\text{O}_3/\text{Al}$  复合颗粒的高分辨像Fig.2 HREM image of  $\text{Al}_2\text{O}_3/\text{Al}$  particle

小基本保持原始粉体的晶粒尺寸。透射电镜观察和 XRD 分析结果表明，晶粒尺寸均小于 100 nm。

Yang 等人<sup>[14]</sup>的研究表明：在 550 ℃退火 40 min 的样品中，晶粒仍为球状，表面非晶  $\text{Al}_2\text{O}_3$  膜完整无损。当退火温度超过 570 ℃后，由于金属 Al 的热膨胀率比陶瓷相  $\text{Al}_2\text{O}_3$  的大，随着温度的升高， $\text{Al}_2\text{O}_3$  外壳中的拉应力越来越高，球状晶粒基本消失，个别 Al 晶粒尺寸增至 100—200 nm。非晶  $\text{Al}_2\text{O}_3$  膜变成碎片，阻碍了 Al 原子的扩散和晶界迁移。Al 晶粒长大的主要驱动力是界面能的降低，当由界面减少提供的驱动力不足以克服  $\text{Al}_2\text{O}_3$  碎片对 Al 晶界的钉扎作用时，Al 晶粒不再长大。另一方面，Al 原子又不能穿越  $\text{Al}_2\text{O}_3$ ，实现 Al 晶粒的长大。与粗晶材料一样，杂质或第二相也能阻碍纳米材料中晶粒的长大，从而提高材料的热稳定性，Al 晶粒平均尺寸仍小于 100 nm。

图 3  $\text{Al}_2\text{O}_3/\text{Al}$  纳米复合材料和粗晶 Al 的应力 – 应变曲线Fig.3 Stress-strain ( $\sigma$ - $\epsilon$ ) plots for cold-rolled nano  $\text{Al}_2\text{O}_3/\text{Al}$  composite (●), cold-rolled Al with coarse grain (○) and as-cast coarse-grained Al (△)

## 2.2 拉伸性能和断裂特征

$\text{Al}_2\text{O}_3/\text{Al}$  纳米复合材料拉伸试样的应力 – 应变 ( $\sigma$ - $\epsilon$ ) 曲线，明显存在着塑性变形过程（图 3），宏观断口与力轴呈 45° 角，为典型的剪切断口（图 4a）。SEM 观察表明断口呈韧窝状，为典型的塑性断裂（图 4b）。

$\text{Al}_2\text{O}_3/\text{Al}$  纳米复合材料室温拉伸性能见表 1。从表可见，其冷变形纳米晶 Al 具有较高的强度和塑性：屈服强度  $\sigma_{0.2}$  和断裂强度  $\sigma_b$  分别为粗晶 Al<sup>[16]</sup> 的 12—16 倍和 5—6 倍；延伸率  $\delta$  为 7.7%，比冷轧铸态粗晶 Al ( $\delta=6.0\%$ ) 约提高 28%。

## 2.3 基体晶粒细化的强化效应

由图 1 可见，虽然纳米 Al 基体的大多数晶粒尺寸在 100 nm 以下，平均尺寸也在纳米量级，但少数超过了 100 nm。特别是在 570—620 ℃退火处理 40 min 后，样品的微观组织结构发生变化，球状颗粒基本消失，个别 Al 晶粒尺寸长大至亚微米量级。

图 4 显示的剪切断口表明，存在由位错滑移引起的塑

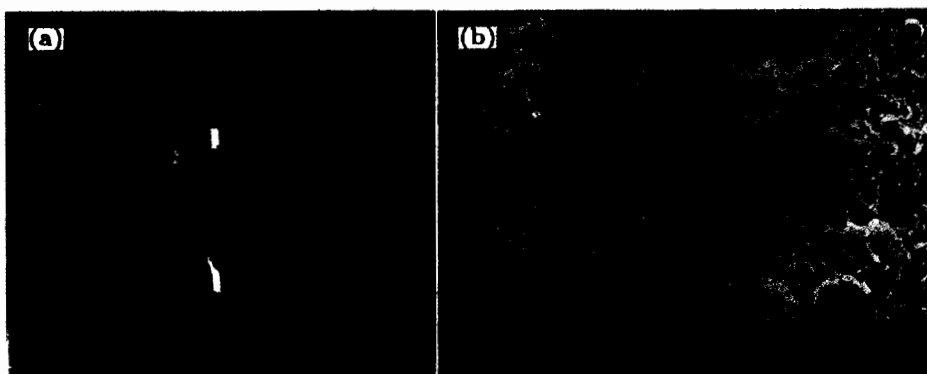
图 4  $\text{Al}_2\text{O}_3/\text{Al}$  纳米复合材料拉伸试样宏观断口及 SEM 断口形貌Fig.4 Macroscopic appearance (a) and SEM image of tensile fracture surfaces (b) for nano  $\text{Al}_2\text{O}_3/\text{Al}$  composite

表 1  $\text{Al}_2\text{O}_3/\text{Al}$  纳米复合材料的室温拉伸性能  
Table 1 tensile properties of nano  $\text{Al}_2\text{O}_3/\text{Al}$  composite and coarse grain Al at room temperature

Sample	Sintering condition	Relative density, %	$\sigma_{0.2}$ , MPa	$\sigma_b$ , MPa	$\delta$ , %
Sintered nano-Al	540 °C, 40 min	96.5		119	1.0
	570 °C, 40 min	96.6		199	1.2
	600 °C, 40 min	96.7	257	262	1.6
	620 °C, 40 min	97.4	244	257	4.0
	635 °C, 40 min	98.0	264	275	4.0
Cold-rolled sintered nano-Al	620 °C, 40 min	99.0	250	284	7.7
As-cast coarse-grained Al (this work)	Annealed	100		53	36.4
	Cold-rolled Annealed	100		114	6.0
Coarse-grained Al <sup>[16]</sup>	Annealed	100	15—20	40—50	50—70

性变形。在应力作用下, 位错源被激发产生位错, 当位错运动到晶界时受到阻碍产生位错塞积, 塞积的位错群对晶界产生一种应力, 当这种应力足够大时, 便可激发启动邻近晶粒的位错源使之也产生位错运动。按照 Hall-Petch 关系(对于尺寸大于 100 nm 的晶粒可能适用), 纳米材料的强度应远高于普通多晶材料。在  $\text{Al}_2\text{O}_3/\text{Al}$  纳米复合材料中, 晶界所占的体积分数远大于普通粗晶材料, 位错在这种材料中运动受到的阻力更大, 故要使这种材料产生塑性变形, 必须施加更大的应力。此外, 由于大量的原子处于晶界上, 忽略晶界行为的单一位错理论不再合理。虽然, 纳米材料的强度不能用 Hall-Petch 关系定量评估, 但是纳米材料强度很高已为许多实验普遍证实。用超细粉冷压合成的纳米金属 Cu, Pd, Ag 和 Au 样品<sup>[6-9]</sup>, 其拉伸强度较普通粗晶材料提高了 3—5 倍。

#### 2.4 $\text{Al}_2\text{O}_3$ 的弥散强化

影响  $\text{Al}_2\text{O}_3$  强化效果的因素有非晶  $\text{Al}_2\text{O}_3$  相的强度和韧性、相含量、相形貌和相分布等。

$\text{Al}_2\text{O}_3$  抗拉强度为 420 MPa, 故可推断非晶  $\text{Al}_2\text{O}_3$  膜的强度远高于普通粗晶 Al 的强度。对于 Al 基材料而言, 弥散分布的非晶  $\text{Al}_2\text{O}_3$  纳米碎片是比较理想的增强材料。采用气体分析法测定  $\text{Al}_2\text{O}_3/\text{Al}$  纳米复合材料的氧含量(质量分数)为 3.0%—3.2%, 即可计算出  $\text{Al}_2\text{O}_3$  的平均含量(质量分数)约为 6.6%。

表 1 表明, 在 570 °C 以下温度退火处理的样品拉伸性能极低, 这是因为晶粒表面的氧化壳完好, 晶粒仍为球状, 与冷压态样品的完全一致<sup>[14]</sup>。晶界主要是由  $\text{Al}_2\text{O}_3$  或  $\text{Al}_2\text{O}_3+\text{Al}$  构成的脆性晶界, 晶粒之间的界面结合薄弱, 晶粒间受力和变形难以协调, 样品过早发生沿晶断裂。

620 和 635 °C 热处理样品具有良好的拉伸性能, 这与退火后非晶  $\text{Al}_2\text{O}_3$  膜变成碎片, 形成了大量的 Al-Al 晶界<sup>[14]</sup> 有关。

620 °C, 40 min 处理后的冷轧变形, 可焊合样品中孔洞、裂纹等缺陷, 使样品的相对密度提高了 1.6%。更重要的是变形处理使非晶  $\text{Al}_2\text{O}_3$  膜进一步破碎, 并弥散分

布于基体中, Al 晶粒可以相互接触形成更多的 Al-Al 晶界。弥散分布的氧化物碎片既起到了阻碍 Al 晶粒长大的作用, 又产生弥散增强纳米 Al 基体的效果, 特别是非晶  $\text{Al}_2\text{O}_3$  膜进一步碎化和弥散可显著提高  $\text{Al}_2\text{O}_3/\text{Al}$  纳米复合材料的塑性。从表 1 可知: 其延伸率  $\delta$  为 7.7%, 比冷轧粗晶 Al 提高 28%, 比未经冷变形的冷压纳米晶 Al(只进行 620 °C, 40 min 烧结) 高出近 1 倍。

#### 2.5 冷变形强化

对于普通多晶体材料, 变形强化源于运动位错的塞积, 是强化单相金属材料(不能通过热处理强化)的重要途径。由于纳米材料晶粒细小, 位错行为对变形过程的贡献减小, 故表现出较小的变形强化效应。在特定应力条件下或对于理想纳米材料, 变形强化效应可能消失<sup>[10]</sup>。

图 5 为冷轧后经不同温度退火处理的  $\text{Al}_2\text{O}_3/\text{Al}$  纳米复合材料拉伸曲线。55% 的冷形变量所造成的硬化仅使强度提高了约 8%(450 °C 回火视为完全消除加工硬化)。而同质粗晶 Al ( $\sigma_b=53$  MPa) 为 115%。

#### 2.6 晶粒细化的强化与弥散强化

$\text{Al}_2\text{O}_3/\text{Al}$  纳米复合材料、粉末冶金法制备的粗晶 Al(简称粉末粗晶 Al) 和铸态粗晶 Al 经过相同参数的冷变

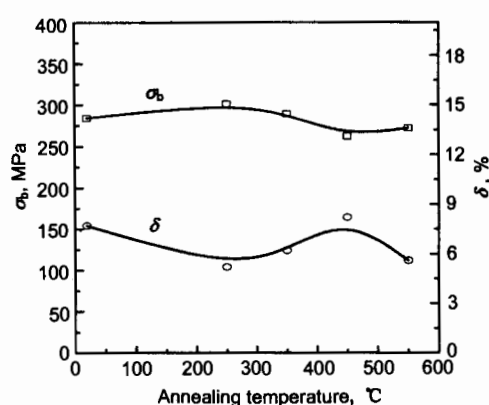


图 5 冷轧后退火处理的  $\text{Al}_2\text{O}_3/\text{Al}$  纳米复合材料拉伸性能

Fig.5 The tensile properties of as-rolled nano  $\text{Al}_2\text{O}_3/\text{Al}$  annealed at different temperatures

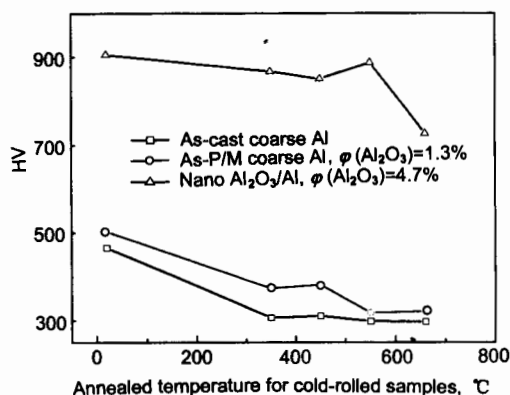


图 6 3 种冷轧铝材料的硬度 - 温度曲线

**Fig.6** Hardness (HV) vs temperature for 3 kinds of Al materials cold-rolled (content of Al<sub>2</sub>O<sub>3</sub> being volume fraction),  $\varphi(\text{Al}_2\text{O}_3)$

形处理, 再经 660 ℃, 90 min 再结晶后, 三者的致密度相近(均大于 98%), 两种粗晶 Al 的晶粒尺寸相近。图 6 表明, 由于粉末粗晶 Al 中含有体积分数为 1.3% 的 Al<sub>2</sub>O<sub>3</sub>(氧的质量分数为 0.93%), Al<sub>2</sub>O<sub>3</sub> 膜的弥散强化使粉末法粗晶 Al 的硬度较铸态粗晶 Al 的硬度增加, Al<sub>2</sub>O<sub>3</sub>/Al 纳米复合材料中 Al<sub>2</sub>O<sub>3</sub> 的体积分数达到 4.7% (氧的质量分数为 3.1%), 因晶粒尺寸效应和弥散强化的双重作用, 故其硬度约为粗晶 Al 的 3 倍。

Al<sub>2</sub>O<sub>3</sub>/Al 纳米复合材料基本符合混合定律的条件: (1) 宏观上是均质的, 不存在内应力; (2) Al 和 Al<sub>2</sub>O<sub>3</sub> 是均质的各向同性及线弹性的; (3) Al 和 Al<sub>2</sub>O<sub>3</sub> 之间粘结牢靠无空隙, 不产生相对滑移。因此, Al<sub>2</sub>O<sub>3</sub> 膜的弥散强化可参考混合定律定性评估。粗略估算: Al<sub>2</sub>O<sub>3</sub> 的体积分数为 0 时, 硬度 HV 为 300; Al<sub>2</sub>O<sub>3</sub> 的体积分数为 1.3% 时, 硬度 HV 为 320。在 Al<sub>2</sub>O<sub>3</sub>/Al 的复合材料中, Al<sub>2</sub>O<sub>3</sub> 的体积分数为 4.7%, 硬度 HV 应为 370 左右, 比无 Al<sub>2</sub>O<sub>3</sub> 的铸态粗晶 Al 的 HV 值高 73。估算表明, Al<sub>2</sub>O<sub>3</sub> 膜对 Al<sub>2</sub>O<sub>3</sub>/Al 纳米复合材料弥散强化的贡献率约为 1/7。

图 6 表明, 当 Al<sub>2</sub>O<sub>3</sub>/Al 纳米复合材料的晶粒尺寸由 200 nm(660 ℃退火)细化到 100 nm(550 ℃退火)时, 复合材料的硬度约提高了 20%, 可见晶粒尺寸因素对

纳米复合材料的强度有重要影响。采用超细粉末冷压法制备的单质纳米 Pd, Au 和 Ag 样品的拉伸结果<sup>[6-9]</sup>亦可证明此结论。

### 3 结论

(1) Al<sub>2</sub>O<sub>3</sub>/Al 纳米复合材料的屈服强度  $\sigma_{0.2}$  和抗拉强度  $\sigma_b$  分别为粗晶 Al 的 12—16 倍和 5—6 倍, 延伸率  $\delta$  比冷轧粗晶 Al 提高 28%。

(2) Al<sub>2</sub>O<sub>3</sub>/Al 纳米复合材料的高强度主要源于纳米晶的尺寸效应和 Al<sub>2</sub>O<sub>3</sub> 的弥散增强作用, 晶粒尺寸的强化贡献率最大。

### 参考文献

- [1] Cui C X, Wu R J. *Acta Metall Sin*, 1996; 32: 101  
(崔春翔, 吴人洁. 金属学报, 1996; 32: 101)
- [2] Sun X C, Sun X K, Wei W D. *Chin Sci Bull*, 1998; 43: 642  
(孙向成, 孙秀魁, 魏文铎. 科学通报, 1998; 43: 642)
- [3] Lu L, Sui M L, Lu K. *Science*, 2000; 287: 287
- [4] Schiøtz J, Di Tolla F D, Jacobsen K W. *Nature*, 1998; 391: 561
- [5] Yip S. *Nature*, 1998; 391: 532
- [6] Nieman G W, Weertman J R, Siegel R W. *J Mater Res*, 1991; 6: 1012
- [7] Sanders P G, Eastman J A, Weertman J R. *Acta Mater*, 1997; 45: 4019
- [8] Zhang H F, Wu X J, Du L G, Wang Y Q, Li Z Q. *4th Int Conf Nano, Mater*, Book of Abstracts, June, 14-19, Stockholm, 1998: 258
- [9] Lu K, Lu L. *Acta Metall Sin*, 2000; 36: 785  
(卢柯, 卢磊. 金属学报, 2000; 36: 785)
- [10] Bonetti E, Pasquini L, Sampaolesi E. *NanoStruct Mater*, 1997; 9: 611
- [11] Sánchez-López J C, González-Elips A R, Fernández A. *J Mater Res*, 1998; 13: 703
- [12] Eckert J, Holzer J C, Ahn C C, Fu Z, Johnson W L. *NanoStruct Mater*, 1993; 2: 407
- [13] Sánchez-López J C, Fernández A, Conde C F, Conde A, Morant C, Sanz J M. *NanoStruct Mater*, 1996; 7: 813
- [14] Yang Z Q, He L I, Chen J, Cong H T, Ye H Q. *J Mater Res*, in press
- [15] Sun X K, Cong H T, Sun M, Yang M C. *Metall Mater Trans*, 2000; 31A: 1017
- [16] Murray G T, Lograsso T A. *Metals Handbook*. Vol.2, 10th ed., Materials Park, OH: ASM International, 1990: 1100